

УДК 677.017:539.3

**РАСЧЕТ ПРОЧНОСТИ ПРЯЖИ  
С ПРИМЕНЕНИЕМ ТЕОРИИ УПРУГОСТИ  
АНИЗОТРОПНОГО ТЕЛА\***

В. П. ЩЕРБАКОВ

(Московская государственная текстильная академия им. А. Н. Косягина)

Введем ортогональную систему координат, связанную с осевой линией волокна (рис. 1). Три вектора: касательная  $\tau$ , главная нормаль  $v$  и бинормаль  $\beta$  образуют естественный трехгранник винтовой линии. Главная нормаль к винтовой линии во всех ее точках совпадает с нормалью к цилиндру. В некоторой точке  $M$  на волокне зададим цилиндрическую систему координат  $(e_x, e_r, e_\varphi)$ .

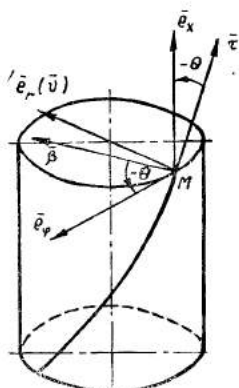


Рис. 1.

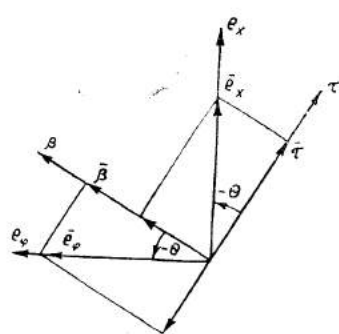


Рис. 2.

Расположим оси таким образом, чтобы ось  $v$  естественного трехгранника совпала с осью  $e_r$ , направленной к центру нити, а ось  $e_x$  направим вдоль оси нити. Цилиндрические оси образуют правую тройку векторов, повернутых относительно оси  $v$ , совпадающей с направлением оси  $e_r$ , на отрицательный угол  $\Theta$ . Найдем выражения перехода от одного ортогонального базиса к другому. Из рис. 2

$$\begin{aligned}\bar{v} &= \bar{e}_r, \\ \bar{e}_x &= \bar{\tau} \cos \Theta + \bar{\beta} \sin (-\Theta), \\ \bar{e}_\varphi &= -\bar{\tau} \sin (-\Theta) + \bar{\beta} \cos \Theta.\end{aligned}\tag{1}$$

Соответствующая матрица перехода запишется в виде

\* Окончание. Начало см. в № 6 за 1996 г.

$$[l_{ij}] = \begin{bmatrix} \bar{\tau} & \bar{v} & \bar{\beta} \\ \bar{e}_x & \cos\Theta & 0 & -\sin\Theta \\ \bar{e}_r & 0 & 1 & 0 \\ \bar{e}_\varphi & \sin\Theta & 0 & \cos\Theta \end{bmatrix}. \quad (2)$$

Элементы матрицы  $[l_{ij}]$  можно рассматривать как направляющие косинусы между векторами базисов  $\{\bar{\tau}, \bar{v}, \bar{\beta}\}$  и  $\{e_x, e_r, e_\varphi\}$ .

С учетом введенных элементов и соотношений, характеризующих структуру нити, рассмотрим преобразование матрицы коэффициентов  $[E_{ij}]$  при переходе к матрице жесткости  $[C_{ij}]$ . Напряжения в цилиндрических координатах  $\sigma'_{kl}$  связаны с напряжением в естественных координатах  $\sigma_{ij}$  соотношением:

$$\sigma'_{kl} = \sigma_{ij} l_{ki} l_{lj}. \quad (3)$$

Для примера записываем одно из системы уравнений в развернутом виде:

$$\begin{aligned} \sigma'_{11} = & \sigma_{11} l_{11} + \sigma_{12} l_{11} l_{12} + \sigma_{13} l_{11} l_{13} + \sigma_{21} l_{12} l_{11} + \\ & + \sigma_{22} l_{12} + \sigma_{23} l_{12} l_{13} + \sigma_{31} l_{13} l_{11} + \sigma_{32} l_{13} l_{12} + \sigma_{33} l_{13} \end{aligned} \quad (4)$$

и, заменяя индексы  $ij$  и  $kl$  по правилу [(3).1], и приводя подобные члены, получаем

$$\begin{aligned} \sigma_1' = & \sigma_1 l_{11}^2 + \sigma_2 l_{12}^2 + \sigma_3 l_{13}^2 + 2\sigma_4 l_{11} l_{12} + \\ & + 2\sigma_5 l_{11} l_{13} + 2\sigma_6 l_{12} l_{13}. \end{aligned} \quad (5)$$

Система уравнений (3) в матричных обозначениях принимает вид

$$\sigma'_i = g_{ij} \sigma_j, \quad (6)$$

где коэффициенты  $g_{ij}$  имеют значения, указанные в табл. 1.

Таблица 1

$i/j$	1	2	3	4	5	6
1	$l_{11} l_{11}$	$l_{12} l_{12}$	$l_{13} l_{13}$	$2l_{11} l_{12}$	$2l_{11} l_{13}$	$2l_{12} l_{13}$
2	$l_{21} l_{21}$	$l_{22} l_{22}$	$l_{23} l_{23}$	$2l_{21} l_{22}$	$2l_{21} l_{23}$	$2l_{22} l_{23}$
3	$l_{31} l_{31}$	$l_{32} l_{32}$	$l_{33} l_{33}$	$2l_{31} l_{32}$	$2l_{31} l_{33}$	$2l_{32} l_{33}$
4	$l_{11} l_{21}$	$l_{12} l_{22}$	$l_{13} l_{23}$	$l_{11} l_{22} + l_{12} l_{21}$	$l_{11} l_{23} + l_{13} l_{21}$	$l_{12} l_{23} + l_{13} l_{22}$
5	$l_{11} l_{31}$	$l_{12} l_{32}$	$l_{13} l_{33}$	$l_{11} l_{32} + l_{12} l_{31}$	$l_{11} l_{33} + l_{13} l_{31}$	$l_{12} l_{33} + l_{13} l_{32}$
6	$l_{21} l_{31}$	$l_{22} l_{32}$	$l_{23} l_{33}$	$l_{21} l_{32} + l_{22} l_{31}$	$l_{21} l_{33} + l_{23} l_{31}$	$l_{22} l_{33} + l_{23} l_{32}$

В нашем случае, когда матрица перехода  $[l_{ij}]$  записывается в виде (2), табл. 1 примет вид табл. 2.

Таблица 2

$i/j$	1	2	3	4	5	6
1	$\cos^2\Theta$	0	$\sin^2\Theta$	0	$-2\sin\Theta\cos\Theta$	0
2	0	1	0	0	0	0
3	$\sin^2\Theta$	0	$\cos^2\Theta$	0	$2\sin\Theta\cos\Theta$	0
4	0	0	0	$\cos\Theta$	0	$-\sin\Theta$
5	$\sin\Theta\cos\Theta$	0	$-\sin\Theta\cos\Theta$	0	$\cos^2\Theta - \sin^2\Theta$	0
6	0	0	0	$\sin\Theta$	0	$\cos\Theta$

Матрица коэффициентов жесткости  $E_{ij}$  при переходе от волокон к нити преобразуется по формуле:

$$C_{il} = E_{jh} g_{ij} g_{lh}. \quad (7)$$

Заметим, что трансверсально-изотропный материал при повороте осей координат вокруг главной нормали в новых координатах уже не является монотропным. Если бы оси координат были повернуты произвольно, то имели бы 21 коэффициент, то есть поведение материала не отличалось бы от полностью анизотропного состояния. В связи с этим необходимо определить все постоянные жесткости нити. Кроме этого учтем, что коэффициенты упругости отдельного волокна преобразуются к новым осям координат, связанным с нитью.

В дальнейшем вклады отдельных волокон в жесткость нити определенным образом будут усреднены. А пока коэффициенты упругости индивидуального волокна в новых осях обозначим через  $C^*_{il}$  в отличие от постоянных жесткости нити  $C_{il}$ .

В соответствии с (7) запишем

$$\begin{aligned} C^*_{11} = & E_{ih} g_{1j} g_{1h} = E_{11} g_{11} g_{11} + E_{12} g_{11} g_{12} + E_{13} g_{11} g_{13} + \\ & + E_{21} g_{12} g_{11} + E_{22} g_{12} g_{12} + E_{23} g_{12} g_{13} + E_{31} g_{13} g_{11} + \\ & + E_{32} g_{13} g_{12} + E_{33} g_{13} g_{13} + E_{44} g_{14} g_{14} + E_{55} g_{15} g_{15} + \\ & + E_{66} g_{16} g_{16} = E_f \cos^4 \Theta + E_t \sin^4 \Theta + 2E_t \sin^2 \Theta \cos^2 \Theta + \\ & + 4G' \sin^2 \Theta \cos^2 \Theta = E_f \{ \cos^4 \Theta + p \sin^4 \Theta + 2[vp/(1+v) + \\ & + 2p/(1+p(1+2v))] \sin^2 \Theta \cos^2 \Theta \}; \end{aligned} \quad (8)$$

$$C^*_{22} = p E_f; \quad (9)$$

$$\begin{aligned} C^*_{33} = & E_f \{ \sin^4 \Theta + p \cos^4 \Theta + 2[vp/(1+v) + \\ & + 2p/(1+p(1+2v))] \sin^2 \Theta \cos^2 \Theta \}; \end{aligned} \quad (10)$$

$$C^*_{12} = E_{tf} \cos^2 \Theta + E_{tj} \sin^2 \Theta = vp/(1+v) E_f; \quad (11)$$

$$\begin{aligned} C^*_{13} = & E_f \{ vp/(1+v) (\sin^4 \Theta + \cos^4 \Theta) + [1+p - \\ & - 4p/(1+p(1+2v))] \sin^2 \Theta \cos^2 \Theta \}; \end{aligned} \quad (12)$$

$$C^*_{23} = vp/(1+v) E_f. \quad (13)$$

Остальные коэффициенты равны или близки нулю.

Постоянные жесткости (8...13) получены в результате преобразования матрицы коэффициентов жесткости отдельного волокна, ориентированного под углом  $\Theta$  относительно оси  $X$  нити. Геометрическая модель нити допускает, что волокна располагаются по винтовым линиям с постоянным шагом. Тогда, как отмечено, шаг винтовой линии  $h$  не зависит от текущего радиуса нити  $r$ , а угол ориентации отдельного волокна  $\Theta$ , равный углу подъема винтовой линии, изменяется вдоль радиуса, достигая на поверхности нити радиуса  $R$  величины  $\beta$ . Модуль упругости нити  $E_x$  определяется жесткостью всех волокон, поэтому для расчета прочности нити необходимы усредненные характеристики  $C_{il}$ , для чего делим нить на цилиндрические элементы радиальной толщины  $dr$  и площадью  $2\pi r dr$  с углом винтовой линии  $\Theta$ . Тогда среднее значение  $\cos^4 \Theta$  получим в результате интегрирования [2]:

$$\langle \cos^4 \Theta \rangle = 1/(\pi R^2) \int_0^R 2\pi r \cos^4 \Theta dr. \quad (14)$$

Интеграл можно упростить, введя вместо  $r$  новую переменную  $\Theta$ , полагая, что

$$r = h \operatorname{tg} \Theta / (2\pi).$$

Отсюда

$$dr = 1/(2\pi) h/\cos^2 \Theta d\Theta$$

и, кроме того,

$$2\pi R = h \operatorname{tg} \beta, \quad 2\pi r = h \operatorname{tg} \Theta.$$

После приведения подынтегрального выражения к новой переменной и замены пределов в (14) имеем

$$\langle \cos^4 \Theta \rangle = h^2 / (2\pi^2 R^2) \int_0^\beta \operatorname{tg} \Theta \cos^2 \Theta d\Theta = \cos^2 \beta. \quad (15)$$

Постоянные жесткости нити  $C_{il}^*$  обусловлены вкладом жесткости отдельного волокна, ориентированного под углом  $\Theta$  относительно оси  $X$  нити. Аналогично находим усредненные значения тригонометрических функций, входящих в соотношения, определяющие величину жесткости нити  $C_{il}^*$ :

$$\langle \sin^4 \Theta \rangle = 1 / (\pi R^2) \int_0^R 2\pi r \sin^4 \Theta dr = 1 + \cos^2 \beta + 4 \ln \cos \beta / \operatorname{tg}^2 \beta, \quad (16)$$

$$\begin{aligned} \langle \sin^2 \Theta \cos^2 \Theta \rangle &= 1 / (\pi R^2) \int_0^R 2\pi r \sin^2 \Theta \cos^2 \Theta dr = \\ &= -\cos^2 \beta - 2 \ln \cos \beta / \operatorname{tg}^2 \beta. \end{aligned} \quad (17)$$

После усреднения получим формулы для постоянных жесткости нити:

$$C_{11} = E_f \{ p + (1+p) \cos^2 \beta + 4 \ln \cos \beta / \operatorname{tg}^2 \beta - \\ - 2p [v / (1+v) + 2 / (1+p(1+2v))] (\cos^2 \beta + 2 \ln \cos \beta / \operatorname{tg}^2 \beta) \}; \quad (18)$$

$$C_{22} = p E_f; \quad (19)$$

$$C_{33} = E_f \{ 1 + (1+p) \cos^2 \beta + 4 \ln \cos \beta / \operatorname{tg}^2 \beta - \\ - 2p [v / (1+v) + 2 / (1+p(1+2v))] (\cos^2 \beta + \\ + 2 \ln \cos \beta / \operatorname{tg}^2 \beta) \}; \quad (20)$$

$$C_{12} = E_f v p / (1+v); \quad (21)$$

$$\begin{aligned} C_{13} = & E_f \{ v p (1 + 2 \cos^2 \beta + 4 \ln \cos \beta / \tan^2 \beta) / \\ & / (1 + v) - [1 + p - 4p / (1 + p(1 + 2v'))] (\cos^2 \beta + \\ & + 2 \ln \cos \beta / \tan^2 \beta) \}; \end{aligned} \quad (22)$$

$$C_{23} = E_f v p / (1 + v). \quad (23)$$

Если известны элементы матрицы внутренней жесткости нити  $[C_{ij}]$ , то можно найти модуль упругости нити и обозначить его через  $E_x$ . Для этого рассмотрим одноосное растяжение нити вдоль оси  $X$ . Уравнения равновесия в нашем случае принимают вид

$$\begin{aligned} \sigma_1 = & C_{11}\epsilon_1 C_{12}\epsilon_2 + C_{13}\epsilon_3, \\ O = & C_{12}\epsilon_1 + C_{22}\epsilon_2 + C_{23}\epsilon_3, \\ O = & C_{13}\epsilon_1 + C_{23}\epsilon_2 + C_{33}\epsilon_3. \end{aligned} \quad (24)$$

Так как модуль упругости нити представляет собой коэффициент пропорциональности между напряжением  $\sigma_1 = \sigma_x$  и деформацией  $\epsilon_1 = \epsilon_x$ , выразим деформации  $\epsilon_2$  и  $\epsilon_3$  через  $\epsilon_1$ . После довольно громоздких подстановок и преобразований находим формулу для определения модуля упругости нити:

$$E_x = C_{11} - [(C_{12}^2 C_{33} + C_{13}^2 C_{22} - 2C_{12}C_{13}C_{23}) / (C_{22}C_{33} - C_{23}^2)]. \quad (25)$$

Таким образом, получены необходимые для расчета прочности нити уравнения и формулы, основанные на теории упругости анизотропного тела, методах матричного исчисления и статистического усреднения. Методология проектирования [3] предполагает расчеты характеристик свойств волокон, включая продольный  $E_f$  и поперечный  $E_t$  модули упругости, коэффициенты Пуассона  $v$  и  $v'$ ; параметров распределения Вейбулла по прочности волокон; средней прочности волокон с действительной длиной  $l$  по формуле  $\bar{P}(l) = P_* (l_0/l)^{1/\alpha} \Gamma(1+1/\alpha)$ , где  $P_*$ ,  $\alpha$  — параметры распределения Вейбулла по прочности волокон и  $\Gamma(x)$  — гамма-функция Эйлера; коэффициента реализации средней прочности волокон по формуле  $k = (ae)^{-1/\alpha} / \Gamma(1+1/\alpha)$  и модуля упругости нити.

## ЛИТЕРАТУРА

1. Щербаков В. П./Изв. вузов. Технология текстильной промышленности. — 1996, № 2. С. 9...13.
2. Hearle J. W. S., Grosberg P., Backer S. Structural Mechanics of Fibers, Yarns and Fabrics, New-York, 1969.
3. Скуланова Н. С. О построении новой модели разрушения и расчете прочности пряжи//Изв. вузов. Технология текстильной промышленности. — 1994, № 1. С. 5...10.

Рекомендована кафедрой механической технологии волокнистых материалов. Поступила 07.05.96.